

# 野木瓜注射液对牛蛙坐骨神经传导的影响

叶文博 薛韶萍 李 劲

**提 要** 10%野木瓜注射液(Injection Stauntoniae, IS)涂布于离体牛蛙坐骨神经8min后,神经干复合动作电位诸成分的潜伏期都发生了显著性的延长,但只对C<sub>2</sub>成分的幅度有显著性影响;而50%IS不仅使复合动作电位各类成分的潜伏期都发生了显著性延长,而且使除A<sub>α</sub>和C<sub>1</sub>以外的各类成分的幅度有显著性的减小。上述IS的影响具有明显的量效关系。这种阻滞作用是可逆的。

**关键词** 野木瓜注射液;神经传导;阻滞作用

**中图法分类号** R971.1; Q422

## 0 引言

野木瓜系木通科野木瓜属植物,具有祛风止痛,舒筋活络的作用,可用于治疗三叉神经痛、坐骨神经痛、神经性头痛、风湿关节痛等痛症<sup>[1~3]</sup>。野木瓜注射液用于穴位注射治疗坐骨神经痛、枕骨神经痛和颈椎痛等效果良好<sup>[4~6]</sup>。药理学实验表明IS能阻滞大鼠隐神经传导<sup>[7]</sup>和影响爪蟾的脊反射<sup>[8]</sup>。本实验将IS直接涂布于牛蛙坐骨神经干上,观察它对牛蛙坐骨神经传导的影响。

## 1 材料和方法

牛蛙,体重200~300g,雌雄不限。野木瓜注射液(IS,广东和平制药厂生产)用0.65%NaCl溶液配制成10%IS和50%IS。主要实验仪器有IS-2型智能刺激器,光耦合刺激隔离器,WFZ-87多功能直流放大器(均为中科院上海生理所研制),IBM微机,A/D卡(东南大学研制),剥制好的坐骨神经放入自制的屏蔽盒,中枢端放在刺激电极处,外周端放在记录电极处。记录电极R<sub>1</sub>和R<sub>2</sub>分别置于药室两侧,如图1所示。紧贴记录电极R<sub>2</sub>处剪断神经,以形成该处动作电位的单相记录。在屏蔽盒内放一些湿棉球,盖上盒盖,保持盒内空气湿润。R<sub>1</sub>,R<sub>2</sub>距离刺激电极S分别为16mm和33mm。药室宽4mm<sup>[9]</sup>。

收稿日期:1997-06-02

第一作者叶文博,男,副教授,上海师范大学生物系,上海,200234

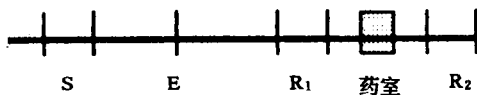


图 1 屏蔽盒电极、药室布置示意图

S:刺激电极      E:接地电极      R<sub>1</sub>,R<sub>2</sub>:记录电极      —— 坐骨神经干

实验参数的选择:刺激方波为恒流,刺激 A 类纤维的波宽=0.05ms<sup>[10,11]</sup>,幅度为 0.1~0.6mA;直流放大器增益×100,滤液 100HZ,时间常数 5s;动作电位采样间隔  $t=0.06\text{ms}$ . 刺激 B 类和 C 类纤维的波宽=0.5ms,幅度为 0.5~3mA;直流放大器增益×1000,滤波 3HZ,时间常数 5s;动作电位采样间隔  $t=0.32\text{ms}$ (R<sub>1</sub> 采样)或  $t=0.48\text{ms}$ (R<sub>2</sub> 采样). 所记录的电位进行 8 次平均迭加.

加药前,将浸有 0.65%NaCl 溶液的棉球放入药室,包裹在神经干周围. 每隔 4min 对复合动作电位诸成分采样 1 次,共 3 次,它们的平均值作为实验对照值. 加药时,去除原有的棉球,吸干药室中的溶液,将浸有 10% 或 50%IS 的棉球放入药室,包裹在神经干周围. 给药时间 12min,其间每隔 4min 对复合动作电位诸成分采样 1 次. 12 分钟后立即将浸有 IS 的棉球拿去,并用 0.65%NaCl 溶液冲洗多遍. 洗药后,每隔 4min 对复合动作电位诸成分采样 1 次,一般采 3 次.

## 2 结果和分析

Gasser H S & Erlanger J 和 Tasaki I, Ishii K & Ito H 等人通过各自的工作分别证明了牛蛙坐骨神经干复合动作电位 A<sub>α</sub>、A<sub>β</sub>、A<sub>δ</sub>、B 和 C 诸成分传导速度的差异<sup>[12~15]</sup>. 我们在室温 16~22℃ 条件下获得的由 R<sub>2</sub> 记录的牛蛙坐骨神经干复合动作电位诸成分(对照组)的潜伏期和传导速度如表 1 所示. 我们根据实验观察结果将 C 成分在时程上有明显差别的两部分划成 C<sub>1</sub> 和 C<sub>2</sub> 两个亚成分.

表 1 复合动作电位诸成分潜伏期和传导速度

|          | A <sub>α</sub> | A <sub>δ</sub> | B           | C <sub>1</sub> | C <sub>2</sub> |
|----------|----------------|----------------|-------------|----------------|----------------|
| 潜伏期(ms)  | 0.83~1.42      | 2.28~3.78      | 13.92~26.88 | 68.64~93.60    | 93.60~155.52   |
| 传导速度(ms) | 23.3~39.9      | 8.7~14.5       | 1.2~2.4     | 0.35~0.48      | 0.21~0.35      |

10% 和 50%IS 对复合动作电位诸成分的影响见表 2 和表 3. IS 首先影响各类神经纤维的传导速度,表现为复合动作电位诸成分潜伏期的延长;然后可能影响它们的幅度. 在 8min 后,10%IS 使诸成分潜伏期都发生了显著延长,但只使 C<sub>2</sub> 成分的幅度的发生显著的影响;而 50%IS 不仅能使诸成分潜伏期都发生显著延长,而且能使 A<sub>δ</sub>、B 和 C<sub>2</sub> 等成分的幅度显著减小. IS

的影响有明显的量效关系。

表 2 IS 实验组复合动作电位诸成分潜伏期的延长值( mean  $\pm$  sd )

|                       | 10%IS             |                    |                    |                 | 50%IS              |                    |                     |                    |
|-----------------------|-------------------|--------------------|--------------------|-----------------|--------------------|--------------------|---------------------|--------------------|
|                       | 4min              | 8min               | 12min              | 恢复              | 4min               | 8min               | 12min               | 恢复                 |
| A <sub>α</sub> n = 10 | 0.09 $\pm$ 0.06 * | 0.09 $\pm$ 0.06 *  | 0.10 $\pm$ 0.05 *  | 0.04 $\pm$ 0.04 | 0.18 $\pm$ 0.06 *  | 0.26 $\pm$ 0.11 ** | 0.31 $\pm$ 0.12 **  | 0.07 $\pm$ 0.05    |
| A <sub>δ</sub> n = 10 | 0.06 $\pm$ 0.06   | 0.07 $\pm$ 0.05 *  | 0.13 $\pm$ 0.05 ** | 0.02 $\pm$ 0.03 | 0.33 $\pm$ 0.18 *  | 0.61 $\pm$ 0.26 ** | 0.77 $\pm$ 0.32 **  | 0.37 $\pm$ 0.37 ** |
| B n = 5               |                   |                    |                    |                 | 1.57 $\pm$ 1.54    | 2.50 $\pm$ 2.03    | 3.44 $\pm$ 2.49 *   | 0.89 $\pm$ 1.35    |
| C <sub>1</sub> n = 9  | 0.41 $\pm$ 0.41   | 1.50 $\pm$ 0.61 ** | 2.35 $\pm$ 0.88 ** | 0.25 $\pm$ 0.62 | 5.39 $\pm$ 2.26 ** | 6.18 $\pm$ 2.23 ** | 8.30 $\pm$ 3.93 **  | 2.04 $\pm$ 1.49    |
| C <sub>2</sub> n = 6  | 2.68 $\pm$ 2.36   | 4.54 $\pm$ 2.31 *  | 8.26 $\pm$ 4.12 ** | 1.06 $\pm$ 1.57 | 5.31 $\pm$ 2.80 *  | 9.53 $\pm$ 3.37 ** | 14.07 $\pm$ 5.63 ** | 1.01 $\pm$ 1.27    |

\* 同 0.65%NaCl 溶液处理的给药前对照相比,  $P < 0.05$

\*\* 同 0.65%NaCl 溶液处理的给药前对照相比,  $P < 0.01$

表 3 IS 实验组复合动作电位诸成分幅度与对照的比值( mean  $\pm$  sd )

|                       | 10%IS           |                   |                    |                 | 50%IS              |                    |                    |                 |
|-----------------------|-----------------|-------------------|--------------------|-----------------|--------------------|--------------------|--------------------|-----------------|
|                       | 4min            | 8min              | 12min              | 恢复              | 4min               | 8min               | 12min              | 恢复              |
| A <sub>α</sub> n = 10 | 0.96 $\pm$ 0.05 | 0.95 $\pm$ 0.04   | 0.93 $\pm$ 0.05    | 0.98 $\pm$ 0.04 | 0.90 $\pm$ 0.03    | 0.85 $\pm$ 0.06    | 0.80 $\pm$ 0.08    | 0.99 $\pm$ 0.04 |
| A <sub>δ</sub> n = 10 | 0.81 $\pm$ 0.10 | 0.77 $\pm$ 0.08   | 0.71 $\pm$ 0.11    | 0.96 $\pm$ 0.05 | 0.77 $\pm$ 0.17    | 0.55 $\pm$ 0.31 *  | 0.38 $\pm$ 0.29 ** | 0.95 $\pm$ 0.06 |
| B n = 5               |                 |                   |                    |                 | 0.57 $\pm$ 0.27 *  | 0.29 $\pm$ 0.32 ** | 0.03 $\pm$ 0.07 ** | 0.98 $\pm$ 0.04 |
| C <sub>1</sub> n = 9  | 0.98 $\pm$ 0.05 | 0.96 $\pm$ 0.07   | 0.91 $\pm$ 0.10    | 0.98 $\pm$ 0.04 | 0.92 $\pm$ 0.10    | 0.85 $\pm$ 0.10    | 0.80 $\pm$ 0.13    | 0.95 $\pm$ 0.03 |
| C <sub>2</sub> n = 6  | 0.93 $\pm$ 0.04 | 0.92 $\pm$ 0.04 * | 0.86 $\pm$ 0.06 ** | 0.94 $\pm$ 0.03 | 0.62 $\pm$ 0.22 ** | 0.51 $\pm$ 0.27 ** | 0.46 $\pm$ 0.24 ** | 0.91 $\pm$ 0.06 |

\* 同 0.65%NaCl 溶液处理的给药前对照相比,  $P < 0.05$

\*\* 同 0.65%NaCl 溶液处理的给药前对照相比,  $P < 0.01$

以往的实验表明 IS 能显著地阻滞大鼠隐神经的 A<sub>δ</sub> 类和 C 类纤维的痛温觉传导<sup>[7]</sup>和爪蟾的痛觉传导<sup>[8]</sup>。

本实验表明:IS 也能显著性阻滞牛蛙坐骨神经 A<sub>δ</sub> 类纤维的传导,但只能显著性阻滞一部分 C 类纤维,即 C<sub>2</sub> 纤维的传导(表 3、图 2). 坐骨神经的 C 类纤维一般被分为两类,一类为交感神经节后纤维(传出纤维),另一类为痛温觉纤维(传入纤维)<sup>[16,17]</sup>. 所以,有可能被阻滞传导的 C<sub>2</sub> 纤维是痛温觉纤维,而未被阻滞传导的 C<sub>1</sub> 纤维是交感神经节后纤维. B 类纤维为有髓神经纤维,但同 A<sub>δ</sub> 类纤维相比,它的髓鞘化程度较低. 它的复合动作电位传导速度明显快于 C 类纤维<sup>[15]</sup>. 50%IS 可使它的复合动作电位幅度显著性下降,潜伏期显著性延长. 其幅度下降的程度远远大于 A 类和 C 类纤维,但潜伏期延长的程度则介于 A 类和 C 类纤维之间纤维之间(表 2、表 3). 本实验结果进一步证明 IS 可阻滞外周神经纤维的传导,并具有较高的特异性. 其机理有待进一步组织学实验证实. IS 的传导阻滞作用是可逆的. 一般在洗药后的 12min 后,复合动作电位诸成分的传导都能得到显著的恢复.

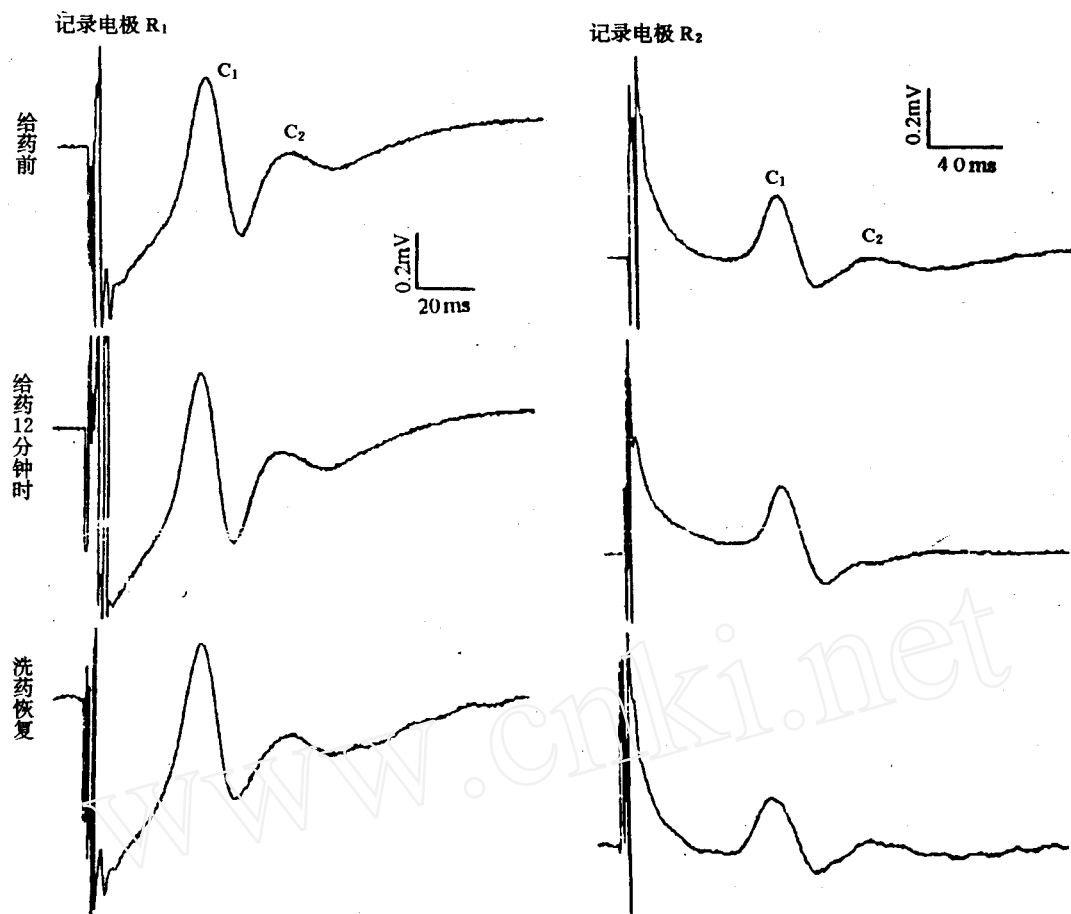


图2 50%IS对坐骨神经干复合动作电位C<sub>1</sub>成分和C<sub>2</sub>成分影响的R<sub>1</sub>和R<sub>2</sub>记录曲线

### 参 考 文 献

- 1 上海第一制药厂. 木通科七叶莲制剂及其临床应用. 医学工业(上海), 1975, 7:28
- 2 上海第一制药厂等. 木通科七叶莲治疗三叉神经痛临床观察. 中草药通讯, 1976, 12:31
- 3 上海医学工业研究所. 药品集第九分册, 神经系统药物. 上海: 科技出版社, 1985. 98
- 4 徐恒昭等. 穴位注射野木瓜治疗颈椎病 202 例疗效观察. 贵阳医学院学报, 1987, 12(4):301
- 5 陈和吉. 野木瓜穴位注射治疗坐骨神经痛 144 例. 人民军医, 1991, 5:49
- 6 陆安源等. 野木瓜、维生素 B<sub>12</sub>穴封治疗枕大神经痛疗效观察. 新中医, 1987, 19(2):30
- 7 叶文博等. 野木瓜注射液对大鼠隐神经传导的影响. 中草药, 1995, 26(1):20
- 8 叶文博等. 野木瓜注射液对爪蟾坐骨神经传导的影响. 上海师范大学学报, 1995, 24(3):64
- 9 Tasaki I. Conduction of the nerve impulse. Handbook of Physiology, section I, American Physiological Society, Washington, D C, 1959. 114
- 10 Lynn B, Carpenter S E. Primary Afferent Units from the Hairy Skin of the Rat Hind Limb. Brian Research, 1982, 238:29

- 11 Such G, Jancso G. Axonal Effects of Capsaicin: an Electrophysiological Study. *Acta Physiologica Hungarica*, 1986, 67(1):53
- 12 Gasser H S. Erlanger Electrical Signs of Nervous Action. Philadelphia: Univ Pennsylvania Press, 1937
- 13 Tasaki I. Conduction of the Nerve Impulse. In John Field (eds), *Handbook of Physiology: Neurophysiology*, Vol 1, America Physiology Society, Washington D C, 1959. 75
- 14 Sweet W H. Pain in John Field (eds), *Handbook of Physiology: Neurophysiology*, Vol 1 America Physiology Society, Washington D C, 1959. 459.
- 15 李永才等. 比较生理学. 北京:高等教育出版社,1985. 305
- 16 Patton H D. 神经干与神经束的特殊性质. 医学生理学和生物物理学(上册),科学出版社,1978. 59
- 17 Richards R F. The peripheral Circulation in Health and Disease. Edinburgh:Livingstone, 1946. 18

## The Effects of Injection Stauntoniae on the Conduction of the Sciatic Nerve in Bullfrog

Ye Wenbo      Xue Shaoping      Li Jin

(Department of Biology)

**Abstract** Injection Stauntoniae (IS) was locally applied on a part of the Sciatic Nerve of Bullfrog. 8 min after administration with 10% IS, the latencies of all components of the compound action potential (cAP) were delayed, but only was the amplitude of cAP of C<sub>2</sub> fiber reduced significantly. With 50% IS, the amplitudes of cAP of all fibers except A<sub>αβ</sub> and C<sub>1</sub> were reduced significantly. There was dose-dependency between concentration of IS and its effect on nerve conduction. Effects above were reversible.

**Key words** Injection Stauntoniae; nerve conduction; block